Aluminium

TA-Aluform® Trapezprofil 29/124 | Wand

Stützweitentabellen nach DIN 18 807 Teile 8 und 9

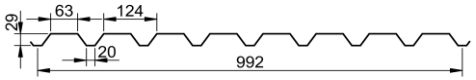

Einfeldträger					Zulässige Stützweite L[1)] in m bei einer Belastung q_k in kN/m²																																		
Bedingungen	t mm	g kN/m²	L_g m	Zeile	Andrückende Belastung											Abhebende Belastung																							
					0,40	0,60	0,80	1,00	1,20	1,40	1,60	1,80	2,00	2,20	2,40	Typ	0,20	0,40	0,60	0,80	1,00	1,20	1,40	1,60	1,80	2,00	2,20	2,40	2,60	2,80	3,00	3,20	3,40	3,60	3,80	4,00
Endauf-lagerbreite $b_A \geq 40$ mm	0,5	0,017	-	1	2,54	2,08	1,80	1,61	1,47	1,36	1,27	1,20	1,14	1,08	1,04	BT	3,63	2,57	2,10	1,82	1,63	1,48	1,37	1,29	1,21	1,15	1,10	1,05	1,01	0,97	0,94	0,91	0,88	0,86	0,83	0,81
				2	1,71	1,50	1,36	1,26	1,19	1,13	1,08	1,04	1,00	0,97	0,94	VM	24,09	12,05	8,03	6,02	4,82	4,02	3,44	3,01	2,68	2,41	2,19	2,01	1,85	1,72	1,61	1,51	1,42	1,34	1,27	1,20
	0,6	0,020	-	1	2,99	2,44	2,11	1,89	1,73	1,60	1,49	1,41	1,34	1,27	1,22	BT	4,27	3,02	2,47	2,13	1,91	1,74	1,61	1,51	1,42	1,35	1,29	1,23	1,18	1,14	1,10	1,07	1,04	1,01	0,98	0,95
				2	1,83	1,60	1,45	1,35	1,27	1,21	1,15	1,11	1,07	1,04	1,01	VM	28,90	14,45	9,63	7,23	5,78	4,82	4,13	3,61	3,21	2,89	2,63	2,41	2,22	2,06	1,93	1,81	1,70	1,61	1,52	1,45
	0,7	0,023	-	1	3,35	2,74	2,37	2,12	1,94	1,79	1,68	1,58	1,50	1,43	1,37	BT	5,02	3,55	2,90	2,51	2,25	2,05	1,90	1,78	1,67	1,59	1,51	1,45	1,39	1,34	1,30	1,26	1,22	1,18	1,15	1,12
				2	1,96	1,71	1,56	1,45	1,36	1,29	1,24	1,19	1,15	1,11	1,08	VM	33,71	16,86	11,24	8,43	6,74	5,62	4,82	4,21	3,75	3,37	3,06	2,81	2,59	2,41	2,25	2,11	1,98	1,87	1,77	1,69
Verbindung mit Scheibe Ø16 in jedem Untergurt	0,8	0,026	-	1	3,70	3,02	2,62	2,34	2,14	1,98	1,85	1,74	1,66	1,58	1,51	BT	5,66	4,00	3,27	2,83	2,53	2,31	2,14	2,00	1,89	1,79	1,71	1,63	1,57	1,51	1,46	1,41	1,37	1,33	1,30	1,26
				2	2,08	1,82	1,65	1,54	1,44	1,37	1,31	1,26	1,22	1,18	1,15	VM	38,52	19,26	12,84	9,63	7,70	6,42	5,50	4,82	4,28	3,85	3,50	3,21	2,96	2,75	2,57	2,41	2,27	2,14	2,03	1,93
	1,0	0,033	-	1	4,32	3,53	3,06	2,73	2,49	2,31	2,16	2,04	1,93	1,84	1,76	BT	6,32	4,47	3,65	3,16	2,83	2,58	2,39	2,24	2,11	2,00	1,91	1,83	1,75	1,69	1,63	1,58	1,53	1,49	1,45	1,41
				2	2,29	2,00	1,82	1,69	1,59	1,51	1,44	1,39	1,34	1,30	1,26	VM	48,18	24,09	16,06	12,05	9,64	8,03	6,88	6,02	5,35	4,82	4,38	4,02	3,71	3,44	3,21	3,01	2,83	2,68	2,54	2,41
	1,2	0,040	-	1	4,95	4,04	3,50	3,13	2,86	2,64	2,47	2,33	2,21	2,11	2,02	BT	6,95	4,91	4,01	3,47	3,11	2,84	2,63	2,46	2,32	2,20	2,09	2,01	1,93	1,86	1,79	1,74	1,68	1,64	1,59	1,55
				2	2,48	2,17	1,97	1,83	1,72	1,63	1,56	1,50	1,45	1,40	1,36	VM	57,81	28,90	19,27	14,45	11,56	9,63	8,26	7,23	6,42	5,78	5,26	4,82	4,45	4,13	3,85	3,61	3,40	3,21	3,04	2,89
Endauf-lagerbreite $b_A \geq 40$ mm	0,5	0,017	-	1	2,54	2,08	1,80	1,61	1,47	1,36	1,27	1,20	1,14	1,08	1,04	BT	3,63	2,57	2,10	1,82	1,63	1,48	1,37	1,29	1,21	1,15	1,10	1,00	0,93	0,86	0,80	0,75	0,71	0,67	0,63	0,60
				2	1,71	1,50	1,36	1,26	1,19	1,13	1,08	1,04	1,00	0,97	0,94	VM	12,05	6,02	4,02	3,01	2,41	2,01	1,72	1,51	1,34	1,20	1,10	1,00	0,93	0,86	0,80	0,75	0,71	0,67	0,63	0,60
	0,6	0,020	-	1	2,99	2,44	2,11	1,89	1,73	1,60	1,49	1,41	1,34	1,27	1,22	BT	4,27	3,02	2,47	2,13	1,91	1,74	1,61	1,51	1,42	1,35	1,29	1,20	1,11	1,03	0,96	0,90	0,85	0,80	0,76	0,72
				2	1,83	1,60	1,45	1,35	1,27	1,21	1,15	1,11	1,07	1,04	1,01	VM	14,45	7,23	4,82	3,61	2,89	2,41	2,06	1,81	1,61	1,45	1,31	1,20	1,11	1,03	0,96	0,90	0,85	0,80	0,76	0,72
	0,7	0,023	-	1	3,35	2,74	2,37	2,12	1,94	1,79	1,68	1,58	1,50	1,43	1,37	BT	5,02	3,55	2,90	2,51	2,25	2,05	1,90	1,78	1,67	1,59	1,51	1,40	1,30	1,20	1,12	1,05	0,99	0,94	0,89	0,84
				2	1,96	1,71	1,56	1,45	1,36	1,29	1,24	1,19	1,15	1,11	1,08	VM	16,86	8,43	5,62	4,21	3,37	2,81	2,41	2,11	1,87	1,69	1,53	1,40	1,30	1,20	1,12	1,05	0,99	0,94	0,89	0,84
Verbindung mit Scheibe Ø16 in jedem 2. Untergurt	0,8	0,026	-	1	3,70	3,02	2,62	2,34	2,14	1,98	1,85	1,74	1,66	1,58	1,51	BT	5,66	4,00	3,27	2,83	2,53	2,31	2,14	2,00	1,89	1,79	1,71	1,61	1,48	1,38	1,28	1,20	1,13	1,07	1,01	0,96
				2	2,08	1,82	1,65	1,54	1,44	1,37	1,31	1,26	1,22	1,18	1,15	VM	19,26	9,63	6,42	4,82	3,85	3,21	2,75	2,41	2,14	1,93	1,75	1,61	1,48	1,38	1,28	1,20	1,13	1,07	1,01	0,96
	1,0	0,033	-	1	4,32	3,53	3,06	2,73	2,49	2,31	2,16	2,04	1,93	1,84	1,76	BT	6,32	4,47	3,65	3,16	2,83	2,58	2,39	2,24	2,11	2,00	1,91	1,83	1,75	1,69	1,61	1,51	1,42	1,34	1,27	1,20
				2	2,29	2,00	1,82	1,69	1,59	1,51	1,44	1,39	1,34	1,30	1,26	VM	24,09	12,05	8,03	6,02	4,82	4,02	3,44	3,01	2,68	2,41	2,19	2,01	1,85	1,72	1,61	1,51	1,42	1,34	1,27	1,20
	1,2	0,040	-	1	4,95	4,04	3,50	3,13	2,86	2,64	2,47	2,33	2,21	2,11	2,02	BT	6,95	4,91	4,01	3,47	3,11	2,84	2,63	2,46	2,32	2,20	2,09	2,01	1,93	1,86	1,79	1,74	1,68	1,61	1,52	1,45
				2	2,48	2,17	1,97	1,83	1,72	1,63	1,56	1,50	1,45	1,40	1,36	VM	28,90	14,45	9,63	7,23	5,78	4,82	4,13	3,61	3,21	2,89	2,63	2,41	2,22	2,06	1,93	1,81	1,70	1,61	1,52	1,45
Endauf-lagerbreite $b_A \geq 40$ mm	0,5	0,017	-	1	2,54	2,08	1,80	1,61	1,47	1,36	1,27	1,20	1,14	1,08	1,04	BT	3,63	2,57	2,10	1,82	1,61	1,34	1,15	1,00	0,89	0,80	0,73	0,67	0,62	0,57	0,54	0,50	0,47	0,45	0,42	0,40
				2	1,71	1,50	1,36	1,26	1,19	1,13	1,08	1,04	1,00	0,97	0,94	VM	8,03	4,02	2,68	2,01	1,61	1,34	1,15	1,00	0,89	0,80	0,73	0,67	0,62	0,57	0,54	0,50	0,47	0,45	0,42	0,40
	0,6	0,020	-	1	2,99	2,44	2,11	1,89	1,73	1,60	1,49	1,41	1,34	1,27	1,22	BT	4,27	3,02	2,47	2,13	1,91	1,61	1,38	1,20	1,07	0,96	0,88	0,80	0,74	0,69	0,64	0,60	0,57	0,54	0,51	0,48
				2	1,83	1,60	1,45	1,35	1,27	1,21	1,15	1,11	1,07	1,04	1,01	VM	9,63	4,82	3,21	2,41	1,93	1,61	1,38	1,20	1,07	0,96	0,88	0,80	0,74	0,69	0,64	0,60	0,57	0,54	0,51	0,48
	0,7	0,023	-	1	3,35	2,74	2,37	2,12	1,94	1,79	1,68	1,58	1,50	1,43	1,37	BT	5,02	3,55	2,90	2,51	2,25	1,87	1,61	1,40	1,25	1,12	1,02	0,94	0,86	0,80	0,75	0,70	0,66	0,62	0,59	0,56
				2	1,96	1,71	1,56	1,45	1,36	1,29	1,24	1,19	1,15	1,11	1,08	VM	11,24	5,62	3,75	2,81	2,25	1,87	1,61	1,40	1,25	1,12	1,02	0,94	0,86	0,80	0,75	0,70	0,66	0,62	0,59	0,56
Verbindung mit Scheibe Ø16 in jedem 3. Untergurt	0,8	0,026	-	1	3,70	3,02	2,62	2,34	2,14	1,98	1,85	1,74	1,66	1,58	1,51	BT	5,66	4,00	3,27	2,83	2,53	2,14	1,83	1,61	1,43	1,28	1,17	1,07	0,99	0,92	0,86	0,80	0,76	0,71	0,68	0,64
				2	2,08	1,82	1,65	1,54	1,44	1,37	1,31	1,26	1,22	1,18	1,15	VM	12,84	6,42	4,28	3,21	2,57	2,14	1,83	1,61	1,43	1,28	1,17	1,07	0,99	0,92	0,86	0,80	0,76	0,71	0,68	0,64
	1,0	0,033	-	1	4,32	3,53	3,06	2,73	2,49	2,31	2,16	2,04	1,93	1,84	1,76	BT	6,32	4,47	3,65	3,16	2,83	2,58	2,29	2,01	1,78	1,61	1,46	1,34	1,24	1,15	1,07	1,00	0,94	0,89	0,85	0,80
				2	2,29	2,00	1,82	1,69	1,59	1,51	1,44	1,39	1,34	1,30	1,26	VM	16,06	8,03	5,35	4,02	3,21	2,68	2,29	2,01	1,78	1,61	1,46	1,34	1,24	1,15	1,07	1,00	0,94	0,89	0,85	0,80
	1,2	0,040	-	1	4,95	4,04	3,50	3,13	2,86	2,64	2,47	2,33	2,21	2,11	2,02	BT	6,95	4,91	4,01	3,47	3,11	2,84	2,63	2,41	2,14	1,93	1,75	1,61	1,48	1,38	1,28	1,20	1,13	1,07	1,01	0,96
				2	2,48	2,17	1,97	1,83	1,72	1,63	1,56	1,50	1,45	1,40	1,36	VM	19,27	9,63	6,42	4,82	3,85	3,21	2,75	2,41	2,14	1,93	1,75	1,61	1,48	1,38	1,28	1,20	1,13	1,07	1,01	0,96

Erläuterungen:

[1)] Die zulässige Stützweite kann in Abhängigkeit von der charakteristischen Last q_k abgelesen werden. Für Zwischenwerte von q_k darf linear interpoliert werden. Zur Bildung von Lastkombinationen siehe Erläuterungsblatt

Zeile 1: Ohne Beschränkung der Durchbiegung

Zeile 2: Zulässige Stützweite bei einer Durchbiegung von f ≤ L/150

L_g Grenzstützweite der Begehbarkeit

BT Zulässige Stützweite aus dem Bauteil- und Verbindungsnachweis (Versagen Bauteil I)

VM Zulässige Stützweite aus dem Verbindungsnachweis (Versagen Bauteil I)

Stand: 13.12.2023

Aluminium

TA-Aluform® Trapezprofil 29/124 | Wand

Stützweitentabellen nach DIN 18 807 Teile 8 und 9

Endauflagerbreite $b_A \geq 40$ mm

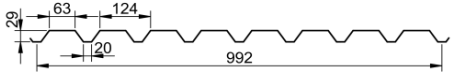

Zweifeldträger					Zulässige Stützweite L[1)] in m bei einer Belastung q_k in kN/m²																																	
Bedingungen	t	g	L_g	Zeile	Andrückende Belastung												Abhebende Belastung																					
	mm	kN/m²	m		0,40	0,60	0,80	1,00	1,20	1,40	1,60	1,80	2,00	2,20	2,40	Typ	0,20	0,40	0,60	0,80	1,00	1,20	1,40	1,60	1,80	2,00	2,20	2,40	2,60	2,80	3,00	3,20	3,40	3,60	3,80	4,00
Zwischenauf-lagerbreite $b_B \geq 40$ mm	0,5	0,017	-	1	2,51	2,02	1,73	1,53	1,38	1,27	1,17	1,09	1,03	0,97	0,92	BT	3,60	2,54	2,08	1,80	1,61	1,47	1,36	1,20	1,07	0,96	0,88	0,80	0,74	0,69	0,64	0,60	0,57	0,54	0,51	0,48
				2	2,29	2,00	1,73	1,53	1,38	1,27	1,17	1,09	1,03	0,97	0,92	VM	4,82	3,34	2,62	2,15	1,82	1,58	1,38	1,20	1,07	0,96	0,88	0,80	0,74	0,69	0,64	0,60	0,57	0,54	0,51	0,48
	0,6	0,020	-	1	2,97	2,40	2,06	1,83	1,66	1,52	1,41	1,32	1,24	1,18	1,12	BT	4,23	2,99	2,44	2,11	1,89	1,73	1,60	1,45	1,28	1,16	1,05	0,96	0,89	0,83	0,77	0,72	0,68	0,64	0,61	0,58
				2	2,45	2,14	1,95	1,81	1,66	1,52	1,41	1,32	1,24	1,18	1,12	VM	5,78	3,68	2,93	2,44	2,09	1,82	1,62	1,45	1,28	1,16	1,05	0,96	0,89	0,83	0,77	0,72	0,68	0,64	0,61	0,58
	0,7	0,023	-	1	3,51	2,85	2,45	2,18	1,98	1,82	1,69	1,59	1,50	1,42	1,35	BT	4,74	3,35	2,74	2,37	2,12	1,94	1,79	1,64	1,50	1,35	1,23	1,12	1,04	0,96	0,90	0,84	0,79	0,75	0,71	0,67
				2	2,63	2,30	2,09	1,94	1,82	1,73	1,66	1,59	1,50	1,42	1,35	VM	6,74	3,97	3,21	2,70	2,33	2,04	1,82	1,64	1,50	1,35	1,23	1,12	1,04	0,96	0,90	0,84	0,79	0,75	0,71	0,67
	0,8	0,026	-	1	3,97	3,22	2,78	2,48	2,25	2,07	1,93	1,81	1,71	1,63	1,55	BT	5,23	3,70	3,02	2,62	2,34	2,14	1,98	1,82	1,67	1,53	1,40	1,28	1,19	1,10	1,03	0,96	0,91	0,86	0,81	0,77
Verbindung mit Scheibe Ø16 in jedem Untergurt				2	2,79	2,44	2,22	2,06	1,94	1,84	1,76	1,69	1,63	1,58	1,54	VM	7,70	4,22	3,46	2,93	2,55	2,25	2,01	1,82	1,67	1,53	1,40	1,28	1,19	1,10	1,03	0,96	0,91	0,86	0,81	0,77
	1,0	0,033	-	1	4,45	3,63	3,14	2,80	2,55	2,36	2,20	2,07	1,96	1,86	1,78	BT	6,11	4,32	3,53	3,06	2,73	2,49	2,31	2,15	1,97	1,82	1,70	1,58	1,48	1,38	1,28	1,20	1,13	1,07	1,01	0,96
				2	3,07	2,68	2,43	2,26	2,13	2,02	1,93	1,86	1,79	1,74	1,69	VM	9,64	4,82	3,88	3,34	2,93	2,62	2,36	2,15	1,97	1,82	1,70	1,58	1,48	1,38	1,28	1,20	1,13	1,07	1,01	0,96
	1,2	0,040	-	1	4,90	4,00	3,46	3,09	2,82	2,60	2,43	2,29	2,17	2,07	1,98	BT	7,00	4,95	4,04	3,50	3,13	2,86	2,64	2,44	2,25	2,09	1,95	1,82	1,71	1,62	1,53	1,45	1,36	1,28	1,22	1,16
				2	3,32	2,90	2,64	2,45	2,30	2,19	2,09	2,01	1,94	1,88	1,83	VM	11,56	5,78	4,22	3,68	3,26	2,93	2,66	2,44	2,25	2,09	1,95	1,82	1,71	1,62	1,53	1,45	1,36	1,28	1,22	1,16
Zwischenauf-lagerbreite $b_B \geq 40$ mm	0,5	0,017	-	1	2,51	2,02	1,73	1,53	1,38	1,27	1,17	1,09	1,03	0,97	0,92	BT	2,54	1,80	1,47	1,20	0,96	0,80	0,69	0,60	0,54	0,48	0,44	0,40	0,37	0,34	0,32	0,30	0,28	0,27	0,25	0,24
				2	2,29	2,00	1,73	1,53	1,38	1,27	1,17	1,09	1,03	0,97	0,92	VM	3,34	2,15	1,58	1,20	0,96	0,80	0,69	0,60	0,54	0,48	0,44	0,40	0,37	0,34	0,32	0,30	0,28	0,27	0,25	0,24
	0,6	0,020	-	1	2,97	2,40	2,06	1,83	1,66	1,52	1,41	1,32	1,24	1,18	1,12	BT	2,99	2,11	1,73	1,45	1,16	0,96	0,83	0,72	0,64	0,58	0,53	0,48	0,44	0,41	0,39	0,36	0,34	0,32	0,30	0,29
				2	2,45	2,14	1,95	1,81	1,66	1,52	1,41	1,32	1,24	1,18	1,12	VM	3,68	2,44	1,82	1,45	1,16	0,96	0,83	0,72	0,64	0,58	0,53	0,48	0,44	0,41	0,39	0,36	0,34	0,32	0,30	0,29
	0,7	0,023	-	1	3,51	2,85	2,45	2,18	1,98	1,82	1,69	1,59	1,50	1,42	1,35	BT	3,35	2,37	1,94	1,64	1,35	1,12	0,96	0,84	0,75	0,67	0,61	0,56	0,52	0,48	0,45	0,42	0,40	0,37	0,35	0,34
				2	2,63	2,30	2,09	1,94	1,82	1,73	1,66	1,59	1,50	1,42	1,35	VM	3,97	2,70	2,04	1,64	1,35	1,12	0,96	0,84	0,75	0,67	0,61	0,56	0,52	0,48	0,45	0,42	0,40	0,37	0,35	0,34
	0,8	0,026	-	1	3,97	3,22	2,78	2,48	2,25	2,07	1,93	1,81	1,71	1,63	1,55	BT	3,70	2,62	2,14	1,82	1,53	1,28	1,10	0,96	0,86	0,77	0,70	0,64	0,59	0,55	0,51	0,48	0,45	0,43	0,41	0,39
Verbindung mit Scheibe Ø16 in jedem 2. Untergurt				2	2,79	2,44	2,22	2,06	1,94	1,84	1,76	1,69	1,63	1,58	1,54	VM	4,22	2,93	2,25	1,82	1,53	1,28	1,10	0,96	0,86	0,77	0,70	0,64	0,59	0,55	0,51	0,48	0,45	0,43	0,41	0,39
	1,0	0,033	-	1	4,45	3,63	3,14	2,80	2,55	2,36	2,20	2,07	1,96	1,86	1,78	BT	4,32	3,06	2,49	2,15	1,82	1,58	1,38	1,20	1,07	0,96	0,88	0,80	0,74	0,69	0,64	0,60	0,57	0,54	0,51	0,48
				2	3,07	2,68	2,43	2,26	2,13	2,02	1,93	1,86	1,79	1,74	1,69	VM	4,82	3,34	2,62	2,15	1,82	1,58	1,38	1,20	1,07	0,96	0,88	0,80	0,74	0,69	0,64	0,60	0,57	0,54	0,51	0,48
	1,2	0,040	-	1	4,90	4,00	3,46	3,09	2,82	2,60	2,43	2,29	2,17	2,07	1,98	BT	4,95	3,50	2,86	2,44	2,09	1,82	1,62	1,45	1,28	1,16	1,05	0,96	0,89	0,83	0,77	0,72	0,68	0,64	0,61	0,58
				2	3,32	2,90	2,64	2,45	2,30	2,19	2,09	2,01	1,94	1,88	1,83	VM	5,78	3,68	2,93	2,44	2,09	1,82	1,62	1,45	1,28	1,16	1,05	0,96	0,89	0,83	0,77	0,72	0,68	0,64	0,61	0,58
Zwischenauf-lagerbreite $b_B \geq 40$ mm	0,5	0,017	-	1	2,51	2,02	1,73	1,53	1,38	1,27	1,17	1,09	1,03	0,97	0,92	BT	2,08	1,47	1,07	0,80	0,64	0,54	0,46	0,40	0,36	0,32	0,29	0,27	0,25	0,23	0,21	0,20	0,19	0,18	0,17	0,16
				2	2,29	2,00	1,73	1,53	1,38	1,27	1,17	1,09	1,03	0,97	0,92	VM	2,62	1,58	1,07	0,80	0,64	0,54	0,46	0,40	0,36	0,32	0,29	0,27	0,25	0,23	0,21	0,20	0,19	0,18	0,17	0,16
	0,6	0,020	-	1	2,97	2,40	2,06	1,83	1,66	1,52	1,41	1,32	1,24	1,18	1,12	BT	2,44	1,73	1,28	0,96	0,77	0,64	0,55	0,48	0,43	0,39	0,35	0,32	0,30	0,28	0,26	0,24	0,23	0,21	0,20	0,19
				2	2,45	2,14	1,95	1,81	1,66	1,52	1,41	1,32	1,24	1,18	1,12	VM	2,93	1,82	1,28	0,96	0,77	0,64	0,55	0,48	0,43	0,39	0,35	0,32	0,30	0,28	0,26	0,24	0,23	0,21	0,20	0,19
	0,7	0,023	-	1	3,51	2,85	2,45	2,18	1,98	1,82	1,69	1,59	1,50	1,42	1,35	BT	2,74	1,94	1,50	1,12	0,90	0,75	0,64	0,56	0,50	0,45	0,41	0,37	0,35	0,32	0,30	0,28	0,26	0,25	0,24	0,22
				2	2,63	2,30	2,09	1,94	1,82	1,73	1,66	1,59	1,50	1,42	1,35	VM	3,21	2,04	1,50	1,12	0,90	0,75	0,64	0,56	0,50	0,45	0,41	0,37	0,35	0,32	0,30	0,28	0,26	0,25	0,24	0,22
	0,8	0,026	-	1	3,97	3,22	2,78	2,48	2,25	2,07	1,93	1,81	1,71	1,63	1,55	BT	3,02	2,14	1,67	1,28	1,03	0,86	0,73	0,64	0,57	0,51	0,47	0,43	0,40	0,37	0,34	0,32	0,30	0,29	0,27	0,26
Verbindung mit Scheibe Ø16 in jedem 3. Untergurt				2	2,79	2,44	2,22	2,06	1,94	1,84	1,76	1,69	1,63	1,58	1,54	VM	3,46	2,25	1,67	1,28	1,03	0,86	0,73	0,64	0,57	0,51	0,47	0,43	0,40	0,37	0,34	0,32	0,30	0,29	0,27	0,26
	1,0	0,033	-	1	4,45	3,63	3,14	2,80	2,55	2,36	2,20	2,07	1,96	1,86	1,78	BT	3,53	2,49	1,97	1,58	1,28	1,07	0,92	0,80	0,71	0,64	0,58	0,54	0,49	0,46	0,43	0,40	0,38	0,36	0,34	0,32
				2	3,07	2,68	2,43	2,26	2,13	2,02	1,93	1,86	1,79	1,74	1,69	VM	3,88	2,62	1,97	1,58	1,28	1,07	0,92	0,80	0,71	0,64	0,58	0,54	0,49	0,46	0,43	0,40	0,38	0,36	0,34	0,32
	1,2	0,040	-	1	4,90	4,00	3,46	3,09	2,82	2,60	2,43	2,29	2,17	2,07	1,98	BT	4,04	2,86	2,25	1,82	1,53	1,28	1,10	0,96	0,86	0,77	0,70	0,64	0,59	0,55	0,51	0,48	0,45	0,43	0,41	0,39
				2	3,32	2,90	2,64	2,45	2,30	2,19	2,09	2,01	1,94	1,88	1,83	VM	4,22	2,93	2,25	1,82	1,53	1,28	1,10	0,96	0,86	0,77	0,70	0,64	0,59	0,55	0,51	0,48	0,45	0,43	0,41	0,39

Erläuterungen:

[1)] Die zulässige Stützweite kann in Abhängigkeit von der charakteristischen Last q_k abgelesen werden. Für Zwischenwerte von q_k darf linear interpoliert werden. Zur Bildung von Lastkombinationen siehe Erläuterungsblatt

Zeile 1: Ohne Beschränkung der Durchbiegung

Zeile 2: Zulässige Stützweite bei einer Durchbiegung von $f \leq L/150$

L_g Grenzstützweite der Begehbarkeit

BT Zulässige Stützweite aus dem Bauteil- und Verbindungsnachweis (Versagen Bauteil I)

VM Zulässige Stützweite aus dem Verbindungsnachweis (Versagen Bauteil I)

Stand: 13.12.2023

Aluminium

TA-Aluform® Trapezprofil 29/124 | Wand

Stützweitentabellen nach DIN 18 807 Teile 8 und 9

Endauflagerbreite $b_A \geq 40$ mm

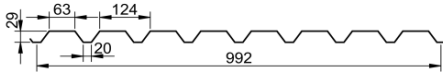

Dreifeldträger					Zulässige Stützweite L[1)] in m bei einer Belastung q_k in kN/m²																																
Bedingungen	t mm	g kN/m²	L_g m	Zeile	Andrückende Belastung											Abhebende Belastung																					
					0,40	0,60	###	1,00	1,20	1,40	1,60	1,80	2,00	2,20	2,40	Typ	0,20	0,40	0,60	0,80	1,00	1,20	1,40	1,60	1,80	2,00	2,20	2,40	2,60	2,80	3,00	3,20	3,40	3,60	3,80	4,00
Zwischenauf-lagerbreite $b_B \geq 40$ mm	0,5	0,017	-	1	2,81	2,26	1,94	1,72	1,55	1,42	1,31	1,23	1,15	1,09	1,03	BT	4,02	2,84	2,32	2,01	1,80	1,64	1,52	1,37	1,22	1,10	1,00	0,91	0,84	0,78	0,73	0,68	0,64	0,61	0,58	0,55
				2	2,12	1,85	1,68	1,56	1,47	1,39	1,31	1,23	1,15	1,09	1,03	VM	5,48	3,58	2,84	2,35	2,01	1,75	1,55	1,37	1,22	1,10	1,00	0,91	0,84	0,78	0,73	0,68	0,64	0,61	0,58	0,55
	0,6	0,020	-	1	3,32	2,69	2,31	2,05	1,86	1,70	1,58	1,48	1,39	1,32	1,25	BT	4,73	3,34	2,73	2,36	2,11	1,93	1,79	1,61	1,46	1,31	1,19	1,09	1,01	0,94	0,88	0,82	0,77	0,73	0,69	0,66
				2	2,26	1,98	1,80	1,67	1,57	1,49	1,43	1,37	1,32	1,28	1,25	VM	6,57	3,92	3,16	2,65	2,28	2,01	1,79	1,61	1,46	1,31	1,19	1,09	1,01	0,94	0,88	0,82	0,77	0,73	0,69	0,66
	0,7	0,023	-	1	3,92	3,18	2,74	2,44	2,21	2,04	1,90	1,78	1,68	1,59	1,51	BT	5,30	3,75	3,06	2,65	2,37	2,16	2,00	1,81	1,66	1,53	1,39	1,28	1,18	1,09	1,02	0,96	0,90	0,85	0,81	0,77
				2	2,42	2,12	1,92	1,79	1,68	1,60	1,53	1,47	1,42	1,37	1,33	VM	7,66	4,21	3,45	2,92	2,54	2,24	2,00	1,81	1,66	1,53	1,39	1,28	1,18	1,09	1,02	0,96	0,90	0,85	0,81	0,77
	0,8	0,026	-	1	4,43	3,61	3,11	2,77	2,52	2,32	2,16	2,03	1,92	1,82	1,74	BT	5,85	4,14	3,38	2,93	2,62	2,39	2,21	2,00	1,84	1,69	1,57	1,46	1,35	1,25	1,17	1,09	1,03	0,97	0,92	0,88
Verbindung mit Scheibe Ø16 in jedem Untergurt				2	2,58	2,25	2,04	1,90	1,79	1,70	1,62	1,56	1,51	1,46	1,42	VM	8,76	4,45	3,70	3,16	2,76	2,45	2,21	2,00	1,84	1,69	1,57	1,46	1,35	1,25	1,17	1,09	1,03	0,97	0,92	0,88
	1,0	0,033	-	1	4,98	4,06	3,51	3,13	2,85	2,63	2,46	2,31	2,19	2,08	1,99	BT	6,83	4,83	3,94	3,42	3,06	2,79	2,57	2,35	2,16	2,01	1,87	1,75	1,64	1,55	1,46	1,37	1,29	1,22	1,15	1,10
				2	2,83	2,47	2,25	2,09	1,96	1,86	1,78	1,71	1,66	1,60	1,56	VM	10,95	5,48	4,12	3,58	3,16	2,84	2,57	2,35	2,16	2,01	1,87	1,75	1,64	1,55	1,46	1,37	1,29	1,22	1,15	1,10
	1,2	0,040	-	1	5,48	4,47	3,86	3,45	3,15	2,91	2,72	2,56	2,43	2,31	2,21	BT	7,82	5,53	4,45	3,91	3,50	3,16	2,89	2,65	2,45	2,28	2,14	2,01	1,89	1,79	1,69	1,61	1,54	1,46	1,38	1,31
				2	3,06	2,68	2,43	2,26	2,12	2,02	1,93	1,86	1,79	1,74	1,69	VM	13,14	6,57	4,45	3,92	3,50	3,16	2,89	2,65	2,45	2,28	2,14	2,01	1,89	1,79	1,69	1,61	1,54	1,46	1,38	1,31
Zwischenauf-lagerbreite $b_B \geq 40$ mm	0,5	0,017	-	1	2,81	2,26	1,94	1,72	1,55	1,42	1,31	1,23	1,15	1,09	1,03	BT	2,84	2,01	1,64	1,37	1,10	0,91	0,78	0,68	0,61	0,55	0,50	0,46	0,42	0,39	0,37	0,34	0,32	0,30	0,29	0,27
				2	2,12	1,85	1,68	1,56	1,47	1,39	1,31	1,23	1,15	1,09	1,03	VM	3,58	2,35	1,75	1,37	1,10	0,91	0,78	0,68	0,61	0,55	0,50	0,46	0,42	0,39	0,37	0,34	0,32	0,30	0,29	0,27
	0,6	0,020	-	1	3,32	2,69	2,31	2,05	1,86	1,70	1,58	1,48	1,39	1,32	1,25	BT	3,34	2,36	1,93	1,61	1,31	1,09	0,94	0,82	0,73	0,66	0,60	0,55	0,51	0,47	0,44	0,41	0,39	0,36	0,35	0,33
				2	2,26	1,98	1,80	1,67	1,57	1,49	1,43	1,37	1,32	1,28	1,25	VM	3,92	2,65	2,01	1,61	1,31	1,09	0,94	0,82	0,73	0,66	0,60	0,55	0,51	0,47	0,44	0,41	0,39	0,36	0,35	0,33
	0,7	0,023	-	1	3,92	3,18	2,74	2,44	2,21	2,04	1,90	1,78	1,68	1,59	1,51	BT	3,75	2,65	2,16	1,81	1,53	1,28	1,09	0,96	0,85	0,77	0,70	0,64	0,59	0,55	0,51	0,48	0,45	0,43	0,40	0,38
				2	2,42	2,12	1,92	1,79	1,68	1,60	1,53	1,47	1,42	1,37	1,33	VM	4,21	2,92	2,24	1,81	1,53	1,28	1,09	0,96	0,85	0,77	0,70	0,64	0,59	0,55	0,51	0,48	0,45	0,43	0,40	0,38
Verbindung mit Scheibe Ø16 in jedem 2. Untergurt	0,8	0,026	-	1	4,43	3,61	3,11	2,77	2,52	2,32	2,16	2,03	1,92	1,82	1,74	BT	4,14	2,93	2,39	2,00	1,69	1,46	1,25	1,09	0,97	0,88	0,80	0,73	0,67	0,63	0,58	0,55	0,52	0,49	0,46	0,44
				2	2,58	2,25	2,04	1,90	1,79	1,70	1,62	1,56	1,51	1,46	1,42	VM	4,45	3,16	2,45	2,00	1,69	1,46	1,25	1,09	0,97	0,88	0,80	0,73	0,67	0,63	0,58	0,55	0,52	0,49	0,46	0,44
	1,0	0,033	-	1	4,98	4,06	3,51	3,13	2,85	2,63	2,46	2,31	2,19	2,08	1,99	BT	4,83	3,42	2,79	2,35	2,01	1,75	1,55	1,37	1,22	1,10	1,00	0,91	0,84	0,78	0,73	0,68	0,64	0,61	0,58	0,55
				2	2,83	2,47	2,25	2,09	1,96	1,86	1,78	1,71	1,66	1,60	1,56	VM	5,48	3,58	2,84	2,35	2,01	1,75	1,55	1,37	1,22	1,10	1,00	0,91	0,84	0,78	0,73	0,68	0,64	0,61	0,58	0,55
	1,2	0,040	-	1	5,48	4,47	3,86	3,45	3,15	2,91	2,72	2,56	2,43	2,31	2,21	BT	5,53	3,91	3,16	2,65	2,28	2,01	1,79	1,61	1,46	1,31	1,19	1,09	1,01	0,94	0,88	0,82	0,77	0,73	0,69	0,66
				2	3,06	2,68	2,43	2,26	2,12	2,02	1,93	1,86	1,79	1,74	1,69	VM	6,57	3,92	3,16	2,65	2,28	2,01	1,79	1,61	1,46	1,31	1,19	1,09	1,01	0,94	0,88	0,82	0,77	0,73	0,69	0,66
Zwischenauf-lagerbreite $b_B \geq 40$ mm	0,5	0,017	-	1	2,81	2,26	1,94	1,72	1,55	1,42	1,31	1,23	1,15	1,09	1,03	BT	2,32	1,64	1,22	0,91	0,73	0,61	0,52	0,46	0,41	0,37	0,33	0,30	0,28	0,26	0,24	0,23	0,21	0,20	0,19	0,18
				2	2,12	1,85	1,68	1,56	1,47	1,39	1,31	1,23	1,15	1,09	1,03	VM	2,84	1,75	1,22	0,91	0,73	0,61	0,52	0,46	0,41	0,37	0,33	0,30	0,28	0,26	0,24	0,23	0,21	0,20	0,19	0,18
	0,6	0,020	-	1	3,32	2,69	2,31	2,05	1,86	1,70	1,58	1,48	1,39	1,32	1,25	BT	2,73	1,93	1,46	1,09	0,88	0,73	0,63	0,55	0,49	0,44	0,40	0,36	0,34	0,31	0,29	0,27	0,26	0,24	0,23	0,22
				2	2,26	1,98	1,80	1,67	1,57	1,49	1,43	1,37	1,32	1,28	1,25	VM	3,16	2,01	1,46	1,09	0,88	0,73	0,63	0,55	0,49	0,44	0,40	0,36	0,34	0,31	0,29	0,27	0,26	0,24	0,23	0,22
	0,7	0,023	-	1	3,92	3,18	2,74	2,44	2,21	2,04	1,90	1,78	1,68	1,59	1,51	BT	3,06	2,16	1,66	1,28	1,02	0,85	0,73	0,64	0,57	0,51	0,46	0,43	0,39	0,36	0,34	0,32	0,30	0,28	0,27	0,26
				2	2,42	2,12	1,92	1,79	1,68	1,60	1,53	1,47	1,42	1,37	1,33	VM	3,45	2,24	1,66	1,28	1,02	0,85	0,73	0,64	0,57	0,51	0,46	0,43	0,39	0,36	0,34	0,32	0,30	0,28	0,27	0,26
Verbindung mit Scheibe Ø16 in jedem 3. Untergurt	0,8	0,026	-	1	4,43	3,61	3,11	2,77	2,52	2,32	2,16	2,03	1,92	1,82	1,74	BT	3,38	2,39	1,84	1,46	1,17	0,97	0,83	0,73	0,65	0,58	0,53	0,49	0,45	0,42	0,39	0,36	0,34	0,32	0,31	0,29
				2	2,58	2,25	2,04	1,90	1,79	1,70	1,62	1,56	1,51	1,46	1,42	VM	3,70	2,45	1,84	1,46	1,17	0,97	0,83	0,73	0,65	0,58	0,53	0,49	0,45	0,42	0,39	0,36	0,34	0,32	0,31	0,29
	1,0	0,033	-	1	4,98	4,06	3,51	3,13	2,85	2,63	2,46	2,31	2,19	2,08	1,99	BT	3,94	2,79	2,16	1,75	1,46	1,22	1,04	0,91	0,81	0,73	0,66	0,61	0,56	0,52	0,49	0,46	0,43	0,41	0,38	0,37
				2	2,83	2,47	2,25	2,09	1,96	1,86	1,78	1,71	1,66	1,60	1,56	VM	4,12	2,84	2,16	1,75	1,46	1,22	1,04	0,91	0,81	0,73	0,66	0,61	0,56	0,52	0,49	0,46	0,43	0,41	0,38	0,37
	1,2	0,040	-	1	5,48	4,47	3,86	3,45	3,15	2,91	2,72	2,56	2,43	2,31	2,21	BT	4,45	3,16	2,45	2,01	1,69	1,46	1,25	1,09	0,97	0,88	0,80	0,73	0,67	0,63	0,58	0,55	0,52	0,49	0,46	0,44
				2	3,06	2,68	2,43	2,26	2,12	2,02	1,93	1,86	1,79	1,74	1,69	VM	4,45	3,16	2,45	2,01	1,69	1,46	1,25	1,09	0,97	0,88	0,80	0,73	0,67	0,63	0,58	0,55	0,52	0,49	0,46	0,44

Erläuterungen:

1) Die zulässige Stützweite kann in Abhängigkeit von der charakteristischen Last q_k abgelesen werden. Für Zwischenwerte von q_k darf linear interpoliert werden. Zur Bildung von Lastkombinationen siehe Erläuterungsblatt

Zeile 1: Ohne Beschränkung der Durchbiegung

Zeile 2: Zulässige Stützweite bei einer Durchbiegung von $f \leq L/150$

L_g Grenzstützweite der Begehbarkeit

BT Zulässige Stützweite aus dem Bauteil- und Verbindungsnachweis (Versagen Bauteil I)

VM Zulässige Stützweite aus dem Verbindungsnachweis (Versagen Bauteil I)

Stand: 13.12.2023

Aluminium

TA-Aluform® Trapezprofil 29/124 | Dach

Stützweitentabellen nach DIN 18 807 Teile 8 und 9

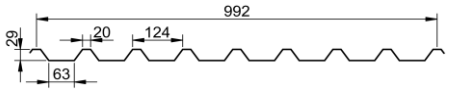

Einfeldträger					Zulässige Stützweite L[1)] in m bei einer Belastung q_k in kN/m²																																			
Bedingungen	t mm	g kN/m²	L_g m	Zeile	Andrückende Belastung													Abhebende Belastung																						
					0,60	0,90	1,20	1,50	1,80	2,10	2,40	2,70	3,00	3,50	4,00	4,50	5,00	Typ	0,30	0,60	0,90	1,20	1,50	1,80	2,10	2,40	2,70	3,00	3,30	3,60	3,90	4,20	4,50	4,80	5,10	5,40
Endauf-lagerbreite $b_A \geq 40$ mm, Verbindung mit EJOT Orkan Kalotte in jeder Rippe	0,5*)	0,017	Siehe Typenblatt „Querschnitts- und Schubfeldwerte"	1	2,07	1,70	1,47	1,32	1,21	1,12	1,05	0,99	0,94	0,87	0,81	0,76	0,73	BT	2,99	2,10	1,71	1,48	1,32	1,20	1,11	1,04	0,98	0,93	0,89	0,85	0,82	0,79	0,76	0,74	0,71	0,69
				2	1,65	1,45	1,32	1,22	1,15	1,09	1,05	0,99	0,94	0,87	0,81	0,76	0,73	VM	41,57	20,42	13,54	10,12	8,09	6,73	5,76	5,04	4,48	4,03	3,66	3,36	3,10	2,88	2,68	2,51	2,37	2,24
	0,6*)	0,020		1	2,43	1,99	1,73	1,55	1,42	1,31	1,23	1,16	1,10	1,02	0,95	0,90	0,85	BT	3,52	2,47	2,01	1,73	1,55	1,41	1,31	1,22	1,15	1,09	1,04	1,00	0,96	0,92	0,89	0,86	0,84	0,81
				2	1,75	1,54	1,40	1,30	1,22	1,16	1,11	1,07	1,03	0,98	0,94	0,90	0,85	VM	50,81	24,89	16,48	12,32	9,83	8,18	7,01	6,13	5,44	4,90	4,45	4,08	3,76	3,49	3,26	3,06	2,88	2,72
	0,7	0,023		1	2,85	2,34	2,03	1,82	1,66	1,54	1,44	1,36	1,29	1,20	1,12	1,06	1,00	BT	3,96	2,77	2,25	1,95	1,74	1,59	1,47	1,37	1,29	1,23	1,17	1,12	1,08	1,04	1,00	0,97	0,94	0,91
				2	1,85	1,62	1,48	1,37	1,29	1,23	1,18	1,13	1,09	1,04	0,99	0,96	0,92	VM	59,04	28,82	19,07	14,24	11,37	9,46	8,10	7,08	6,29	5,66	5,14	4,71	4,35	4,04	3,77	3,53	3,32	3,14
	0,8	0,026		1	3,20	2,63	2,29	2,05	1,87	1,74	1,63	1,53	1,45	1,35	1,26	1,19	1,13	BT	4,39	3,06	2,49	2,15	1,92	1,75	1,62	1,52	1,43	1,35	1,29	1,24	1,19	1,14	1,11	1,07	1,04	1,01
				2	1,93	1,70	1,54	1,44	1,35	1,29	1,23	1,18	1,14	1,09	1,04	1,00	0,96	VM	63,96	31,13	20,57	15,36	12,25	10,19	8,73	7,63	6,78	6,10	5,54	5,07	4,68	4,35	4,06	3,80	3,58	3,38
	1,0	0,033		1	3,56	2,93	2,55	2,29	2,09	1,94	1,81	1,71	1,62	1,51	1,41	1,33	1,26	BT	5,16	3,59	2,91	2,52	2,25	2,05	1,89	1,77	1,67	1,58	1,51	1,44	1,39	1,34	1,29	1,25	1,21	1,18
				2	2,07	1,82	1,66	1,54	1,45	1,38	1,32	1,27	1,23	1,17	1,12	1,07	1,04	VM	72,42	34,98	23,05	17,19	13,71	11,40	9,76	8,53	7,57	6,81	6,19	5,67	5,23	4,85	4,53	4,25	3,99	3,77
	1,2	0,040		1	3,89	3,21	2,79	2,51	2,29	2,13	1,99	1,88	1,78	1,65	1,55	1,46	1,38	BT	5,96	4,12	3,34	2,89	2,58	2,35	2,17	2,03	1,91	1,81	1,73	1,65	1,59	1,53	1,48	1,43	1,39	1,35
				2	2,20	1,93	1,76	1,64	1,54	1,47	1,41	1,35	1,31	1,24	1,19	1,14	1,10	VM	84,95	40,70	26,76	19,94	15,88	13,20	11,29	9,87	8,76	7,88	7,16	6,56	6,05	5,61	5,24	4,91	4,62	4,36
Endauf-lagerbreite $b_A \geq 40$ mm, Verbindung mit EJOT Orkan Kalotte in jeder 2. Rippe	0,5*)	0,017		1	2,07	1,70	1,47	1,32	1,21	1,12	1,05	0,99	0,94	0,87	0,81	0,76	0,73	BT	2,99	2,10	1,71	1,48	1,32	1,20	1,11	1,04	0,95	0,86	0,78	0,71	0,66	0,61	0,57	0,53	0,50	0,48
				2	1,65	1,45	1,32	1,22	1,15	1,09	1,05	0,99	0,94	0,87	0,81	0,76	0,73	VM	20,78	10,21	6,77	5,06	4,04	3,37	2,88	2,52	2,24	2,01	1,83	1,68	1,55	1,44	1,34	1,26	1,18	1,12
	0,6*)	0,020		1	2,43	1,99	1,73	1,55	1,42	1,31	1,23	1,16	1,10	1,02	0,95	0,90	0,85	BT	3,52	2,47	2,01	1,73	1,55	1,41	1,31	1,22	1,15	1,09	1,04	1,00	0,92	0,85	0,80	0,75	0,70	0,66
				2	1,75	1,54	1,40	1,30	1,22	1,16	1,11	1,07	1,03	0,98	0,94	0,90	0,85	VM	25,41	12,44	8,24	6,16	4,92	4,09	3,50	3,06	2,72	2,45	2,23	2,04	1,88	1,75	1,63	1,53	1,44	1,36
	0,7	0,023		1	2,85	2,34	2,03	1,82	1,66	1,54	1,44	1,36	1,29	1,20	1,12	1,06	1,00	BT	3,96	2,77	2,25	1,95	1,74	1,59	1,47	1,37	1,29	1,23	1,17	1,12	1,08	1,04	1,00	0,97	0,94	0,91
				2	1,85	1,62	1,48	1,37	1,29	1,23	1,18	1,13	1,09	1,04	0,99	0,96	0,92	VM	29,52	14,41	9,53	7,12	5,68	4,73	4,05	3,54	3,15	2,83	2,57	2,36	2,17	2,02	1,88	1,77	1,66	1,57
	0,8	0,026		1	3,20	2,63	2,29	2,05	1,87	1,74	1,63	1,53	1,45	1,35	1,26	1,19	1,13	BT	4,39	3,06	2,49	2,15	1,92	1,75	1,62	1,52	1,43	1,35	1,29	1,24	1,19	1,14	1,11	1,07	1,04	1,01
				2	1,93	1,70	1,54	1,44	1,35	1,29	1,23	1,18	1,14	1,09	1,04	1,00	0,96	VM	31,98	15,56	10,28	7,68	6,13	5,10	4,36	3,81	3,39	3,05	2,77	2,54	2,34	2,17	2,03	1,90	1,79	1,69
	1,0	0,033		1	3,56	2,93	2,55	2,29	2,09	1,94	1,81	1,71	1,62	1,51	1,41	1,33	1,26	BT	5,16	3,59	2,91	2,52	2,25	2,05	1,89	1,77	1,67	1,58	1,51	1,44	1,39	1,34	1,29	1,25	1,21	1,18
				2	2,07	1,82	1,66	1,54	1,45	1,38	1,32	1,27	1,23	1,17	1,12	1,07	1,04	VM	36,21	17,49	11,53	8,60	6,85	5,70	4,88	4,26	3,79	3,40	3,09	2,83	2,61	2,43	2,26	2,12	2,00	1,89
	1,2	0,040		1	3,89	3,21	2,79	2,51	2,29	2,13	1,99	1,88	1,78	1,65	1,55	1,46	1,38	BT	5,96	4,12	3,34	2,89	2,58	2,35	2,17	2,03	1,91	1,81	1,73	1,65	1,59	1,53	1,48	1,43	1,39	1,35
				2	2,20	1,93	1,76	1,64	1,54	1,47	1,41	1,35	1,31	1,24	1,19	1,14	1,10	VM	42,47	20,35	13,38	9,97	7,94	6,60	5,65	4,93	4,38	3,94	3,58	3,28	3,02	2,81	2,62	2,45	2,31	2,18
Endauf-lagerbreite $b_A \geq 40$ mm, Verbindung mit EJOT Orkan Kalotte in jeder 3. Rippe	0,5*)	0,017		1	2,07	1,70	1,47	1,32	1,21	1,12	1,05	0,99	0,94	0,87	0,81	0,76	0,73	BT	2,99	2,10	1,71	1,43	1,15	0,95	0,82	0,71	0,63	0,57	0,52	0,48	0,44	0,41	0,38	0,36	0,34	0,32
				2	1,65	1,45	1,32	1,22	1,15	1,09	1,05	0,99	0,94	0,87	0,81	0,76	0,73	VM	13,86	6,81	4,51	3,37	2,70	2,24	1,92	1,68	1,49	1,34	1,22	1,12	1,03	0,96	0,89	0,84	0,79	0,75
	0,6*)	0,020		1	2,43	1,99	1,73	1,55	1,42	1,31	1,23	1,16	1,10	1,02	0,95	0,90	0,85	BT	3,52	2,47	2,01	1,73	1,55	1,33	1,14	1,00	0,89	0,80	0,73	0,66	0,61	0,57	0,53	0,50	0,47	0,44
				2	1,75	1,54	1,40	1,30	1,22	1,16	1,11	1,07	1,03	0,98	0,94	0,90	0,85	VM	16,94	8,30	5,49	4,11	3,28	2,73	2,34	2,04	1,81	1,63	1,48	1,36	1,25	1,16	1,09	1,02	0,96	0,91
	0,7	0,023		1	2,85	2,34	2,03	1,82	1,66	1,54	1,44	1,36	1,29	1,20	1,12	1,06	1,00	BT	3,96	2,77	2,25	1,95	1,74	1,59	1,47	1,37	1,25	1,12	1,02	0,94	0,86	0,80	0,75	0,70	0,66	0,62
				2	1,85	1,62	1,48	1,37	1,29	1,23	1,18	1,13	1,09	1,04	0,99	0,96	0,92	VM	19,68	9,61	6,36	4,75	3,79	3,15	2,70	2,36	2,10	1,89	1,71	1,57	1,45	1,35	1,26	1,18	1,11	1,05
	0,8	0,026		1	3,20	2,63	2,29	2,05	1,87	1,74	1,63	1,53	1,45	1,35	1,26	1,19	1,13	BT	4,39	3,06	2,49	2,15	1,92	1,75	1,62	1,52	1,43	1,35	1,29	1,24	1,15	1,07	1,00	0,94	0,88	0,83
				2	1,93	1,70	1,54	1,44	1,35	1,29	1,23	1,18	1,14	1,09	1,04	1,00	0,96	VM	21,32	10,38	6,86	5,12	4,08	3,40	2,91	2,54	2,26	2,03	1,85	1,69	1,56	1,45	1,35	1,27	1,19	1,13
	1,0	0,033		1	3,56	2,93	2,55	2,29	2,09	1,94	1,81	1,71	1,62	1,51	1,41	1,33	1,26	BT	5,16	3,59	2,91	2,52	2,25	2,05	1,89	1,77	1,67	1,58	1,51	1,44	1,39	1,34	1,29	1,25	1,21	1,18
				2	2,07	1,82	1,66	1,54	1,45	1,38	1,32	1,27	1,23	1,17	1,12	1,07	1,04	VM	24,14	11,66	7,68	5,73	4,57	3,80	3,25	2,84	2,52	2,27	2,06	1,89	1,74	1,62	1,51	1,42	1,33	1,26
	1,2	0,040		1	3,89	3,21	2,79	2,51	2,29	2,13	1,99	1,88	1,78	1,65	1,55	1,46	1,38	BT	5,96	4,12	3,34	2,89	2,58	2,35	2,17	2,03	1,91	1,81	1,73	1,65	1,59	1,53	1,48	1,43	1,39	1,35
				2	2,20	1,93	1,76	1,64	1,54	1,47	1,41	1,35	1,31	1,24	1,19	1,14	1,10	VM	28,32	13,57	8,92	6,65	5,29	4,40	3,76	3,29	2,92	2,63	2,39	2,19	2,02	1,87	1,75	1,64	1,54	1,45

Erläuterungen:

1) Die zulässige Stützweite kann in Abhängigkeit von der charakteristischen Last q_k abgelesen werden. Für Zwischenwerte von q_k darf linear interpoliert werden. Zur Bildung von Lastkombinationen siehe Erläuterungsblatt

Zeile 1: Ohne Beschränkung der Durchbiegung

Zeile 2: Zulässige Stützweite bei einer Durchbiegung von $f \leq L/150$

L_g Grenzstützweite der Begehbarkeit

BT Zulässige Stützweite aus dem Bauteil- und Verbindungsnachweis (Versagen Bauteil I)

VM Zulässige Stützweite aus dem Verbindungsnachweis (Versagen Bauteil I)

*) Bei andrückender Belastung durch Schnee ist die größte zulässige Stützweite 1,50 m

Stand: 13.12.2023

Aluminium

Ta-Aluform® Trapezprofil 29/124 | Dach

Stützweitentabellen nach DIN 18 807 Teile 8 und 9

Endauflagerbreite $b_A \geq 40$ mm

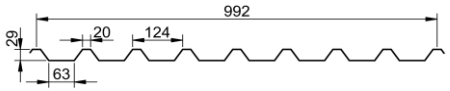

Zweifeldträger					Zulässige Stützweite L[1)] in m bei einer Belastung q_k in kN/m²																																		
Bedingungen	t	g	L_g	Zeile	Andrückende Belastung													Abhebende Belastung																					
	mm	kN/m²	m		0,60	0,90	1,20	1,50	1,80	2,10	2,40	2,70	3,00	3,50	4,00	4,50	5,00	Typ	0,30	0,60	0,90	1,20	1,50	1,80	2,10	2,40	2,70	3,00	3,30	3,60	3,90	4,20	4,50	4,80	5,10	5,40
Zwischenauflagerbreite $b_B \geq 40$ mm; Verbindung mit EJOT Orkan Kalotte in jeder Rippe	0,5*)	0,017	Siehe Typenblatt „Querschnitts- und Schubfeldwerte"	1	1,98	1,59	1,36	1,20	1,08	0,99	0,91	0,85	0,79	0,72	0,66	0,61	0,56	BT	2,97	2,04	1,63	1,39	1,22	1,10	1,00	0,92	0,86	0,80	0,75	0,71	0,68	0,64	0,61	0,59	0,56	0,54
				2	1,98	1,59	1,36	1,20	1,08	0,99	0,91	0,85	0,79	0,72	0,66	0,61	0,56	VM	16,63	8,17	5,42	4,05	3,23	2,69	2,31	2,02	1,79	1,61	1,46	1,34	1,24	1,15	1,07	1,01	0,95	0,89
	0,6*)	0,020		1	2,34	1,90	1,63	1,44	1,30	1,19	1,10	1,03	0,97	0,88	0,81	0,75	0,70	BT	3,51	2,43	1,95	1,67	1,47	1,33	1,21	1,12	1,05	0,98	0,93	0,88	0,83	0,80	0,76	0,73	0,70	0,68
				2	2,34	1,90	1,63	1,44	1,30	1,19	1,10	1,03	0,97	0,88	0,81	0,75	0,70	VM	20,32	9,95	6,59	4,93	3,93	3,27	2,80	2,45	2,18	1,96	1,78	1,63	1,51	1,40	1,30	1,22	1,15	1,09
	0,7	0,023		1	2,65	2,16	1,86	1,65	1,50	1,38	1,28	1,20	1,13	1,03	0,96	0,89	0,84	BT	4,16	2,88	2,32	1,99	1,76	1,59	1,46	1,36	1,27	1,19	1,13	1,07	1,02	0,98	0,94	0,90	0,87	0,84
				2	2,48	2,16	1,86	1,65	1,50	1,38	1,28	1,20	1,13	1,03	0,96	0,89	0,84	VM	23,62	11,53	7,63	5,70	4,55	3,78	3,24	2,83	2,52	2,26	2,06	1,88	1,74	1,61	1,51	1,41	1,33	1,25
	0,8	0,026		1	2,93	2,39	2,07	1,84	1,68	1,55	1,44	1,35	1,28	1,17	1,09	1,02	0,96	BT	4,71	3,27	2,64	2,27	2,01	1,82	1,68	1,56	1,46	1,38	1,30	1,24	1,19	1,14	1,09	1,05	1,01	0,98
				2	2,59	2,27	2,07	1,84	1,68	1,55	1,44	1,35	1,28	1,17	1,09	1,02	0,96	VM	25,58	12,45	8,23	6,14	4,90	4,08	3,49	3,05	2,71	2,44	2,22	2,03	1,87	1,74	1,62	1,52	1,43	1,35
	1,0	0,033		1	3,42	2,81	2,43	2,18	1,98	1,83	1,71	1,61	1,52	1,41	1,31	1,23	1,16	BT	5,33	3,69	2,99	2,57	2,29	2,08	1,92	1,79	1,68	1,59	1,51	1,44	1,38	1,32	1,28	1,23	1,19	1,15
				2	2,77	2,44	2,22	2,07	1,95	1,83	1,71	1,61	1,52	1,41	1,31	1,23	1,16	VM	28,97	13,99	9,22	6,88	5,48	4,56	3,90	3,41	3,03	2,72	2,47	2,27	2,09	1,94	1,81	1,70	1,60	1,51
	1,2	0,040		1	3,91	3,22	2,79	2,50	2,28	2,11	1,98	1,86	1,76	1,63	1,52	1,43	1,35	BT	5,90	4,08	3,30	2,84	2,53	2,31	2,13	1,99	1,87	1,77	1,68	1,61	1,54	1,48	1,43	1,38	1,34	1,30
				2	2,94	2,59	2,36	2,19	2,07	1,97	1,88	1,81	1,75	1,63	1,52	1,43	1,35	VM	33,98	16,28	10,71	7,97	6,35	5,28	4,52	3,95	3,50	3,15	2,86	2,62	2,42	2,25	2,10	1,96	1,85	1,74
Zwischenauflagerbreite $b_B \geq 40$ mm; Verbindung mit EJOT Orkan Kalotte in jeder 2. Rippe	0,5*)	0,017		1	1,98	1,59	1,36	1,20	1,08	0,99	0,91	0,85	0,79	0,72	0,66	0,61	0,56	BT	2,06	1,40	1,10	0,92	0,80	0,71	0,64	0,59	0,54	0,50	0,47	0,44	0,41	0,39	0,37	0,35	0,34	0,32
				2	1,98	1,59	1,36	1,20	1,08	0,99	0,91	0,85	0,79	0,72	0,66	0,61	0,56	VM	8,31	4,08	2,71	2,02	1,62	1,35	1,15	1,01	0,90	0,81	0,73	0,67	0,62	0,58	0,54	0,50	0,47	0,45
	0,6*)	0,020		1	2,34	1,90	1,63	1,44	1,30	1,19	1,10	1,03	0,97	0,88	0,81	0,75	0,70	BT	2,45	1,68	1,33	1,13	0,98	0,88	0,80	0,73	0,68	0,63	0,59	0,56	0,53	0,50	0,48	0,45	0,43	0,42
				2	2,34	1,90	1,63	1,44	1,30	1,19	1,10	1,03	0,97	0,88	0,81	0,75	0,70	VM	10,16	4,98	3,30	2,46	1,97	1,64	1,40	1,23	1,09	0,98	0,89	0,82	0,75	0,70	0,65	0,61	0,58	0,54
	0,7	0,023		1	2,65	2,16	1,86	1,65	1,50	1,38	1,28	1,20	1,13	1,03	0,96	0,89	0,84	BT	2,92	2,00	1,60	1,36	1,20	1,07	0,98	0,90	0,84	0,78	0,74	0,70	0,66	0,63	0,60	0,57	0,55	0,53
				2	2,48	2,16	1,86	1,65	1,50	1,38	1,28	1,20	1,13	1,03	0,96	0,89	0,84	VM	11,81	5,76	3,81	2,85	2,27	1,89	1,62	1,42	1,26	1,13	1,03	0,94	0,87	0,81	0,75	0,71	0,66	0,63
	0,8	0,026		1	2,93	2,39	2,07	1,84	1,68	1,55	1,44	1,35	1,28	1,17	1,09	1,02	0,96	BT	3,31	2,28	1,83	1,56	1,38	1,24	1,14	1,05	0,98	0,92	0,87	0,82	0,78	0,75	0,71	0,69	0,66	0,63
				2	2,59	2,27	2,07	1,84	1,68	1,55	1,44	1,35	1,28	1,17	1,09	1,02	0,96	VM	12,79	6,23	4,11	3,07	2,45	2,04	1,75	1,53	1,36	1,22	1,11	1,01	0,94	0,87	0,81	0,76	0,72	0,68
	1,0	0,033		1	3,42	2,81	2,43	2,18	1,98	1,83	1,71	1,61	1,52	1,41	1,31	1,23	1,16	BT	3,76	2,59	2,09	1,80	1,59	1,44	1,33	1,23	1,16	1,09	1,03	0,98	0,94	0,90	0,86	0,83	0,80	0,75
				2	2,77	2,44	2,22	2,07	1,95	1,83	1,71	1,61	1,52	1,41	1,31	1,23	1,16	VM	14,48	7,00	4,61	3,44	2,74	2,28	1,95	1,71	1,51	1,36	1,24	1,13	1,05	0,97	0,91	0,85	0,80	0,75
	1,2	0,040		1	3,91	3,22	2,79	2,50	2,28	2,11	1,98	1,86	1,76	1,63	1,52	1,43	1,35	BT	4,17	2,87	2,32	2,00	1,78	1,61	1,49	1,39	1,30	1,23	1,17	1,11	1,07	1,03	0,99	0,95	0,92	0,87
				2	2,94	2,59	2,36	2,19	2,07	1,97	1,88	1,81	1,75	1,63	1,52	1,43	1,35	VM	16,99	8,14	5,35	3,99	3,18	2,64	2,26	1,97	1,75	1,58	1,43	1,31	1,21	1,12	1,05	0,98	0,92	0,87
Zwischenauflagerbreite $b_B \geq 40$ mm; Verbindung mit EJOT Orkan Kalotte in jeder 3. Rippe	0,5*)	0,017		1	1,98	1,59	1,36	1,20	1,08	0,99	0,91	0,85	0,79	0,72	0,66	0,61	0,56	BT	1,66	1,11	0,86	0,71	0,62	0,54	0,49	0,44	0,40	0,37	0,35	0,32	0,30	0,29	0,27	0,26	0,24	0,23
				2	1,98	1,59	1,36	1,20	1,08	0,99	0,91	0,85	0,79	0,72	0,66	0,61	0,56	VM	5,54	2,72	1,81	1,35	1,08	0,90	0,77	0,67	0,60	0,54	0,49	0,45	0,41	0,38	0,36	0,34	0,32	0,30
	0,6*)	0,020		1	2,34	1,90	1,63	1,44	1,30	1,19	1,10	1,03	0,97	0,88	0,81	0,75	0,70	BT	1,98	1,34	1,05	0,88	0,76	0,68	0,61	0,56	0,51	0,48	0,44	0,42	0,39	0,37	0,35	0,33	0,32	0,30
				2	2,34	1,90	1,63	1,44	1,30	1,19	1,10	1,03	0,97	0,88	0,81	0,75	0,70	VM	6,77	3,32	2,20	1,64	1,31	1,09	0,93	0,82	0,73	0,65	0,59	0,54	0,50	0,47	0,43	0,41	0,38	0,36
	0,7	0,023		1	2,65	2,16	1,86	1,65	1,50	1,38	1,28	1,20	1,13	1,03	0,96	0,89	0,84	BT	2,36	1,61	1,28	1,08	0,94	0,84	0,76	0,70	0,65	0,60	0,56	0,53	0,50	0,47	0,45	0,43	0,41	0,39
				2	2,48	2,16	1,86	1,65	1,50	1,38	1,28	1,20	1,13	1,03	0,96	0,89	0,84	VM	7,87	3,84	2,54	1,90	1,52	1,26	1,08	0,94	0,84	0,75	0,69	0,63	0,58	0,54	0,50	0,47	0,44	0,42
	0,8	0,026		1	2,93	2,39	2,07	1,84	1,68	1,55	1,44	1,35	1,28	1,17	1,09	1,02	0,96	BT	2,69	1,84	1,47	1,25	1,10	0,98	0,90	0,82	0,77	0,72	0,67	0,64	0,60	0,57	0,54	0,51	0,48	0,45
				2	2,59	2,27	2,07	1,84	1,68	1,55	1,44	1,35	1,28	1,17	1,09	1,02	0,96	VM	8,53	4,15	2,74	2,05	1,63	1,36	1,16	1,02	0,90	0,81	0,74	0,68	0,62	0,58	0,54	0,51	0,48	0,45
	1,0	0,033		1	3,42	2,81	2,43	2,18	1,98	1,83	1,71	1,61	1,52	1,41	1,31	1,23	1,16	BT	3,06	2,10	1,69	1,45	1,28	1,16	1,06	0,99	0,92	0,87	0,82	0,76	0,70	0,65	0,60	0,57	0,53	0,50
				2	2,77	2,44	2,22	2,07	1,95	1,83	1,71	1,61	1,52	1,41	1,31	1,23	1,16	VM	9,66	4,66	3,07	2,29	1,83	1,52	1,30	1,14	1,01	0,91	0,82	0,76	0,70	0,65	0,60	0,57	0,53	0,50
	1,2	0,040		1	3,91	3,22	2,79	2,50	2,28	2,11	1,98	1,86	1,76	1,63	1,52	1,43	1,35	BT	3,40	2,34	1,89	1,62	1,44	1,30	1,20	1,12	1,05	0,99	0,94	0,87	0,81	0,75	0,70	0,65	0,62	0,58
				2	2,94	2,59	2,36	2,19	2,07	1,97	1,88	1,81	1,75	1,63	1,52	1,43	1,35	VM	11,33	5,43	3,57	2,66	2,12	1,76	1,51	1,32	1,17	1,05	0,95	0,87	0,81	0,75	0,70	0,65	0,62	0,58

Erläuterungen:

1) Die zulässige Stützweite kann in Abhängigkeit von der charakteristischen Last q_k abgelesen werden. Für Zwischenwerte von q_k darf linear interpoliert werden. Zur Bildung von Lastkombinationen siehe Erläuterungsblatt

Zeile 1: Ohne Beschränkung der Durchbiegung

Zeile 2: Zulässige Stützweite bei einer Durchbiegung von $f \leq L/150$

L_g Grenzstützweite der Begehbarkeit

BT Zulässige Stützweite aus dem Bauteil- und Verbindungsnachweis (Versagen Bauteil I)

VM Zulässige Stützweite aus dem Verbindungsnachweis (Versagen Bauteil I)

*) Bei andrückender Belastung durch Schnee ist die größte zulässige Stützweite 1,50 m

Stand: 13.12.2023

Aluminium

TA-Aluform® Trapezprofil 29/124 | Dach

Stützweitentabellen nach DIN 18 807 Teile 8 und 9

Endauflagerbreite $b_A \geq 40$ mm

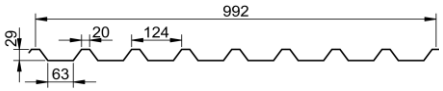

Dreifeldträger					Zulässige Stützweite L[1)] in m bei einer Belastung q_k in kN/m²																																	
Bedingungen	t mm	g kN/m²	L_g m	Zeile	Andrückende Belastung													Abhebende Belastung																				
					0,60	0,90	1,20	1,50	1,80	2,10	2,40	2,70	3,00	3,50	4,00	4,50	5,00	Typ	0,30	0,60	0,90	1,20	1,50	1,80	2,10	2,40	2,70	3,00	3,30	3,60	3,90	4,20	4,50	4,80	5,10	5,40
Zwischenauf-lagerbreite $b_B \geq 40$ mm Verbindung mit EJOT Orkan Kalotte in jeder Rippe	0,5*)	0,017	Siehe Typenblatt „Querschnitts- und Schubfeldwerte"	1	2,21	1,79	1,52	1,34	1,21	1,11	1,02	0,95	0,89	0,81	0,74	0,68	0,64	BT	3,32	2,29	1,83	1,56	1,37	1,23	1,12	1,03	0,96	0,90	0,85	0,80	0,76	0,72	0,69	0,66	0,63	0,61
				2	2,04	1,79	1,52	1,34	1,21	1,11	1,02	0,95	0,89	0,81	0,74	0,68	0,64	VM	18,89	9,28	6,15	4,60	3,68	3,06	2,62	2,29	2,04	1,83	1,66	1,53	1,41	1,31	1,22	1,14	1,08	1,02
	0,6*)	0,020		1	2,62	2,12	1,82	1,61	1,46	1,34	1,24	1,16	1,09	0,99	0,91	0,85	0,79	BT	3,93	2,72	2,18	1,87	1,65	1,49	1,36	1,26	1,17	1,10	1,04	0,98	0,94	0,89	0,86	0,82	0,79	0,76
				2	2,17	1,90	1,73	1,61	1,46	1,34	1,24	1,16	1,09	0,99	0,91	0,85	0,79	VM	23,10	11,31	7,49	5,60	4,47	3,72	3,19	2,79	2,47	2,23	2,02	1,85	1,71	1,59	1,48	1,39	1,31	1,23
	0,7	0,023		1	2,96	2,41	2,08	1,85	1,68	1,54	1,43	1,34	1,26	1,16	1,07	1,00	0,94	BT	4,65	3,22	2,60	2,23	1,97	1,78	1,64	1,52	1,42	1,34	1,27	1,20	1,15	1,10	1,05	1,01	0,97	0,94
				2	2,29	2,01	1,83	1,70	1,60	1,52	1,43	1,34	1,26	1,16	1,07	1,00	0,94	VM	26,84	13,10	8,67	6,47	5,17	4,30	3,68	3,22	2,86	2,57	2,34	2,14	1,98	1,83	1,71	1,60	1,51	1,43
	0,8	0,026		1	3,28	2,68	2,31	2,06	1,88	1,73	1,61	1,51	1,43	1,31	1,22	1,14	1,07	BT	5,27	3,65	2,95	2,54	2,25	2,04	1,88	1,74	1,63	1,54	1,46	1,39	1,33	1,27	1,22	1,18	1,14	1,10
				2	2,39	2,10	1,91	1,77	1,67	1,59	1,52	1,46	1,41	1,31	1,22	1,14	1,07	VM	29,07	14,15	9,35	6,98	5,57	4,63	3,97	3,47	3,08	2,77	2,52	2,31	2,13	1,98	1,84	1,73	1,63	1,54
	1,0	0,033		1	3,83	3,14	2,72	2,43	2,22	2,05	1,92	1,80	1,71	1,57	1,47	1,38	1,30	BT	5,96	4,13	3,34	2,88	2,56	2,33	2,15	2,00	1,88	1,78	1,69	1,61	1,54	1,48	1,43	1,38	1,33	1,29
				2	2,56	2,25	2,05	1,91	1,80	1,71	1,63	1,57	1,52	1,44	1,38	1,33	1,28	VM	32,92	15,90	10,48	7,82	6,23	5,18	4,43	3,88	3,44	3,10	2,81	2,58	2,38	2,21	2,06	1,93	1,82	1,71
	1,2	0,040		1	4,37	3,60	3,12	2,80	2,55	2,36	2,21	2,08	1,97	1,82	1,70	1,60	1,52	BT	6,60	4,56	3,69	3,18	2,83	2,58	2,38	2,22	2,09	1,98	1,88	1,80	1,73	1,66	1,60	1,55	1,50	1,45
				2	2,71	2,39	2,18	2,03	1,91	1,81	1,74	1,67	1,61	1,53	1,47	1,41	1,36	VM	38,61	18,50	12,17	9,06	7,22	6,00	5,13	4,49	3,98	3,58	3,25	2,98	2,75	2,55	2,38	2,23	2,10	1,98
Zwischenauf-lagerbreite $b_B \geq 40$ mm Verbindung mit EJOT Orkan Kalotte in jeder 2. Rippe	0,5*)	0,017		1	2,21	1,79	1,52	1,34	1,21	1,11	1,02	0,95	0,89	0,81	0,74	0,68	0,64	BT	2,31	1,56	1,23	1,04	0,90	0,80	0,72	0,66	0,61	0,57	0,53	0,50	0,47	0,44	0,42	0,40	0,38	0,36
				2	2,04	1,79	1,52	1,34	1,21	1,11	1,02	0,95	0,89	0,81	0,74	0,68	0,64	VM	9,45	4,64	3,08	2,30	1,84	1,53	1,31	1,15	1,02	0,92	0,83	0,76	0,70	0,65	0,61	0,57	0,54	0,51
	0,6*)	0,020		1	2,62	2,12	1,82	1,61	1,46	1,34	1,24	1,16	1,09	0,99	0,91	0,85	0,79	BT	2,75	1,88	1,49	1,26	1,10	0,99	0,90	0,82	0,76	0,71	0,66	0,63	0,59	0,56	0,53	0,51	0,49	0,47
				2	2,17	1,90	1,73	1,61	1,46	1,34	1,24	1,16	1,09	0,99	0,91	0,85	0,79	VM	11,55	5,66	3,75	2,80	2,24	1,86	1,59	1,39	1,24	1,11	1,01	0,93	0,86	0,79	0,74	0,69	0,65	0,62
	0,7	0,023		1	2,96	2,41	2,08	1,85	1,68	1,54	1,43	1,34	1,26	1,16	1,07	1,00	0,94	BT	3,26	2,24	1,79	1,52	1,34	1,20	1,10	1,01	0,94	0,88	0,83	0,78	0,74	0,71	0,68	0,65	0,62	0,60
				2	2,29	2,01	1,83	1,70	1,60	1,52	1,43	1,34	1,26	1,16	1,07	1,00	0,94	VM	13,42	6,55	4,33	3,24	2,58	2,15	1,84	1,61	1,43	1,29	1,17	1,07	0,99	0,92	0,86	0,80	0,76	0,71
	0,8	0,026		1	3,28	2,68	2,31	2,06	1,88	1,73	1,61	1,51	1,43	1,31	1,22	1,14	1,07	BT	3,71	2,55	2,05	1,75	1,55	1,39	1,28	1,18	1,10	1,03	0,98	0,92	0,88	0,84	0,80	0,77	0,74	0,71
				2	2,39	2,10	1,91	1,77	1,67	1,59	1,52	1,46	1,41	1,31	1,22	1,14	1,07	VM	14,54	7,07	4,67	3,49	2,79	2,32	1,98	1,73	1,54	1,39	1,26	1,15	1,06	0,99	0,92	0,86	0,81	0,77
	1,0	0,033		1	3,83	3,14	2,72	2,43	2,22	2,05	1,92	1,80	1,71	1,57	1,47	1,38	1,30	BT	4,20	2,90	2,34	2,01	1,78	1,62	1,49	1,38	1,30	1,22	1,16	1,10	1,05	1,01	0,97	0,93	0,90	0,86
				2	2,56	2,25	2,05	1,91	1,80	1,71	1,63	1,57	1,52	1,44	1,38	1,33	1,28	VM	16,46	7,95	5,24	3,91	3,12	2,59	2,22	1,94	1,72	1,55	1,41	1,29	1,19	1,10	1,03	0,96	0,91	0,86
	1,2	0,040		1	4,37	3,60	3,12	2,80	2,55	2,36	2,21	2,08	1,97	1,82	1,70	1,60	1,52	BT	4,66	3,21	2,60	2,23	1,99	1,81	1,66	1,55	1,46	1,38	1,31	1,25	1,20	1,15	1,11	1,07	1,03	0,99
				2	2,71	2,39	2,18	2,03	1,91	1,81	1,74	1,67	1,61	1,53	1,47	1,41	1,36	VM	19,31	9,25	6,08	4,53	3,61	3,00	2,57	2,24	1,99	1,79	1,63	1,49	1,37	1,28	1,19	1,12	1,05	0,99
Zwischenauf-lagerbreite $b_B \geq 40$ mm Verbindung mit EJOT Orkan Kalotte in jeder 3. Rippe	0,5*)	0,017		1	2,21	1,79	1,52	1,34	1,21	1,11	1,02	0,95	0,89	0,81	0,74	0,68	0,64	BT	1,85	1,24	0,97	0,80	0,69	0,61	0,55	0,50	0,45	0,42	0,39	0,36	0,34	0,32	0,30	0,29	0,27	0,26
				2	2,04	1,79	1,52	1,34	1,21	1,11	1,02	0,95	0,89	0,81	0,74	0,68	0,64	VM	6,30	3,09	2,05	1,53	1,23	1,02	0,87	0,76	0,68	0,61	0,55	0,51	0,47	0,44	0,41	0,38	0,36	0,34
	0,6*)	0,020		1	2,62	2,12	1,82	1,61	1,46	1,34	1,24	1,16	1,09	0,99	0,91	0,85	0,79	BT	2,22	1,50	1,18	0,99	0,86	0,76	0,69	0,63	0,58	0,54	0,50	0,47	0,44	0,42	0,40	0,38	0,36	0,34
				2	2,17	1,90	1,73	1,61	1,46	1,34	1,24	1,16	1,09	0,99	0,91	0,85	0,79	VM	7,70	3,77	2,50	1,87	1,49	1,24	1,06	0,93	0,82	0,74	0,67	0,62	0,57	0,53	0,49	0,46	0,44	0,41
	0,7	0,023		1	2,96	2,41	2,08	1,85	1,68	1,54	1,43	1,34	1,26	1,16	1,07	1,00	0,94	BT	2,64	1,80	1,43	1,21	1,06	0,94	0,86	0,78	0,73	0,68	0,63	0,60	0,56	0,53	0,51	0,49	0,46	0,44
				2	2,29	2,01	1,83	1,70	1,60	1,52	1,43	1,34	1,26	1,16	1,07	1,00	0,94	VM	8,95	4,37	2,89	2,16	1,72	1,43	1,23	1,07	0,95	0,86	0,78	0,71	0,66	0,61	0,57	0,53	0,50	0,48
	0,8	0,026		1	3,28	2,68	2,31	2,06	1,88	1,73	1,61	1,51	1,43	1,31	1,22	1,14	1,07	BT	3,01	2,06	1,65	1,40	1,23	1,10	1,00	0,93	0,86	0,80	0,76	0,71	0,68	0,64	0,61	0,58	0,54	0,51
				2	2,39	2,10	1,91	1,77	1,67	1,59	1,52	1,46	1,41	1,31	1,22	1,14	1,07	VM	9,69	4,72	3,12	2,33	1,86	1,54	1,32	1,16	1,03	0,92	0,84	0,77	0,71	0,66	0,61	0,58	0,54	0,51
	1,0	0,033		1	3,83	3,14	2,72	2,43	2,22	2,05	1,92	1,80	1,71	1,57	1,47	1,38	1,30	BT	3,42	2,35	1,89	1,62	1,44	1,30	1,19	1,10	1,03	0,97	0,92	0,86	0,79	0,74	0,69	0,64	0,61	0,57
				2	2,56	2,25	2,05	1,91	1,80	1,71	1,63	1,57	1,52	1,44	1,38	1,33	1,28	VM	10,97	5,30	3,49	2,61	2,08	1,73	1,48	1,29	1,15	1,03	0,94	0,86	0,79	0,74	0,69	0,64	0,61	0,57
	1,2	0,040		1	4,37	3,60	3,12	2,80	2,55	2,36	2,21	2,08	1,97	1,82	1,70	1,60	1,52	BT	3,80	2,62	2,11	1,81	1,61	1,46	1,34	1,25	1,17	1,11	1,05	0,99	0,92	0,85	0,79	0,74	0,70	0,66
				2	2,71	2,39	2,18	2,03	1,91	1,81	1,74	1,67	1,61	1,53	1,47	1,41	1,36	VM	12,87	6,17	4,06	3,02	2,41	2,00	1,71	1,50	1,33	1,19	1,08	0,99	0,92	0,85	0,79	0,74	0,70	0,66

Erläuterungen:

1) Die zulässige Stützweite kann in Abhängigkeit von der charakteristischen Last q_k abgelesen werden. Für Zwischenwerte von q_k darf linear interpoliert werden. Zur Bildung von Lastkombinationen siehe Erläuterungsblatt

Zeile 1: Ohne Beschränkung der Durchbiegung

Zeile 2: Zulässige Stützweite bei einer Durchbiegung von $f \leq L/150$

L_g Grenzstützweite der Begehbarkeit

BT Zulässige Stützweite aus dem Bauteil- und Verbindungsnachweis (Versagen Bauteil I)

VM Zulässige Stützweite aus dem Verbindungsnachweis (Versagen Bauteil I)

*) Bei andrückender Belastung durch Schnee ist die größte zulässige Stützweite 1,50 m

Stand: 13.12.2023